

นิพนธ์ต้นฉบับ

การศึกษาหารามิเตอร์สำหรับการวิเคราะห์การอบแห้งขิง The Study of Parameters for the Analysis of Ginger Drying

คำสำคัญ : การอบแห้งขิง, แบบจำลองทางคณิตศาสตร์, พารามิเตอร์

Key word : Ginger drying, Mathematical model, Parameter

มารีนา มะโน尼* อภิญญา เอกพงษ์ และ ธนรัฐ ศรีวีระกุล*****

* วท.ม. (เทคโนโลยีพลังงาน) ภาควิชาฟิสิกส์ คณะวิทยาศาสตร์ มหาวิทยาลัยทักษิณ

** วท.ม. (เทคโนโลยีอาหาร) โครงการจัดตั้งภาควิชาอุตสาหกรรมเกษตร คณะเกษตรศาสตร์ มหาวิทยาลัยอุบลราชธานี

*** M.Eng. (Mechanical) ภาควิชาวิศวกรรมเครื่องกล คณะวิศวกรรมศาสตร์ มหาวิทยาลัยอุบลราชธานี

Marina Mani* Apinya Akepong and Thanarat Sriveerakul*****

* M.Sc. (Energy Tech.), Asst. Prof., Department of Physics,
Faculty of Science, Thaksin University, Songkhla, 90000

** M.Sc. (Food Tech.), Lecture, Project to Establish the Department of Agro-Industry,
Faculty of Agricultural, Ubonratchathani University, Ubonratchathani, 34190

*** M.Eng. (Mechanical), Lecture, Department of Mechanical Engineering,
Faculty of Engineering, Ubonratchathani University, Ubonratchathani, 34190

Abstract

The objective of this study are to determine experimentally some properties of ginger. Such as equilibrium moisture content, moisture diffusion coefficient, density and specific heat. These parameters are useful and necessary for drying analysis. The equation describing these parameters were found out by curve fitting using least square technique. The equilibrium moisture content was determined by static method using saturated salt solution. It was founded equilibrium moisture content decreased with the temperature for relative humidity rang from 0 - 30 percent, but increased with the temperature for relative humidity higher than 40 percent. The equation of Oswin, 1946 was found to be accurate to describe the experimental results. The results of the drying of ginger showed that moisture diffusion coefficient increased exponentially with drying temperature at air velocity 1.3 m/s. The temperature rang from 55 - 60 °C was suitable for drying ginger to good quality. For other parameters such as density and specific heat, it was found that density increased linearly and specific heat decreased curved with moisture content in dry basis.

บทคัดย่อ

งานวิจัยนี้เป็นการทดลอง และสร้างแบบจำลองทางคณิตศาสตร์ ของความชื้นสมดุล สัมประสิทธิ์การแพร่ความร้อนจำเพาะและความหนาแน่นซึ่งค่าพารามิเตอร์เหล่านี้สามารถนำไปใช้ประโยชน์ในการวิเคราะห์กระบวนการอบแห้งขิงเพื่อหาแนวทางการอบแห้งที่เหมาะสม

จากการวิเคราะห์หากค่าความชื้นสมดุลของขิง โดยใช้สารละลายเกลืออิ่มตัวเป็นตัวควบคุมความชื้นสัมพัทธ์อยู่ในช่วง 10 - 90 % อุณหภูมิในช่วง 50 - 72 °C แล้วนำผลค่าความชื้นสมดุลมาวิเคราะห์กับรูปแบบจำลองทางคณิตศาสตร์ ของเส้นความชื้นสมดุลได้โดยเทอมในรูปแบบสมการต่างๆ ปรากฏว่ารูปแบบสมการที่ให้ความสัมพันธ์ใกล้เคียงกับการทดลองมากที่สุด คือรูปแบบสมการของ Oswin , 1946 [20] ซึ่งจะได้ความสัมพันธ์ของความชื้นสมดุล คือในช่วงความชื้นสัมพัทธ์น้อยกว่า 30 % เมื่ออุณหภูมิสูงขึ้นความชื้นสมดุลจะมีค่าลดลง แต่ในช่วงความชื้นสัมพัทธ์อากาศมากกว่า 40 % เมื่ออุณหภูมิสูงขึ้นค่าความชื้นสมดุลจะมีค่าเพิ่มขึ้น จากการทดลองหาค่าสัมประสิทธิ์การแพร่ความชื้นของขิงในช่วงอุณหภูมิ 45 - 72 °C ที่ความเร็วลม 1.3 m/s แล้วนำผลที่ได้มาวิเคราะห์หารูปแบบสมการแสดงความสัมพันธ์ระหว่างอุณหภูมิกับค่าสัมประสิทธิ์การแพร่ความชื้น จะได้ความสัมพันธ์ในลักษณะเอ็กซ์โพเนนเชียล คือเมื่ออุณหภูมิค่าสูงขึ้น ค่าสัมประสิทธิ์การแพร่ความชื้นจะมีค่าเพิ่มขึ้น และอุณหภูมิที่เหมาะสม ในการอบแห้งควรอยู่ในช่วง 55 - 60 °C สำหรับการวิเคราะห์ความสัมพันธ์ระหว่างค่าความร้อนจำเพาะกับความชื้น (มาตรฐานแห้ง) ของขิงจะได้ความสัมพันธ์ในลักษณะเส้นตรง โดยที่ค่าความร้อนจำเพาะจะมีค่าลดลง เมื่อความชื้นมีค่าเพิ่มขึ้น ส่วนความสัมพันธ์ระหว่างค่าความหนาแน่นกับความชื้น (มาตรฐานแห้ง) ของขิงจะได้ความสัมพันธ์ในลักษณะเชิงเส้น โดยที่ค่าความหนาแน่นจะมีค่าเพิ่มขึ้นเมื่อความชื้นมีค่าเพิ่มขึ้น

บทนำ

ขิงเป็นผลผลิตทางการเกษตรชนิดหนึ่งของประเทศไทย ในบางปีจะมีการผลิตมากเกินความต้องการทำให้จึงสมควรคุ้มครองไว้ในรูปปัจจุบัน แม้แต่ราคาก็สูงเกินไปในการนำออกมานำมาขายก็อาจเป็นได้ ปัจจุบันในวงการอุตสาหกรรมขิงแห้งหรือขิงผง กำลังเพิ่มความต้องการของตลาด ซึ่งขิงแห้งหรือขิงผงนี้ จะสามารถนำไปใช้ประโยชน์ได้มากตามไวยางอุตสาหกรรมการทำเครื่องสำอาง อุตสาหกรรมแปรรูปอาหาร และในทางเภสัชกรรม ก็ยังนำไปใช้ทำสมุนไพรได้อีกด้วย ดังนั้นกระบวนการอบแห้งขิง เป็นกระบวนการแปรรูปที่สำคัญ การศึกษาอาหารมิเตอร์ที่ใช้ในการอบแห้ง เป็นข้อมูลพื้นฐานที่จำเป็นในการอบแห้ง ซึ่งเป็นวัตถุประสงค์ของโครงการนี้

บท العنเอกสารที่เกี่ยวข้อง

ทักษิณ ลอยจิราภุกุล [3] ได้ศึกษาอิทธิพลของตัวแปรต่างๆ เช่น อุณหภูมิ และความเร็วลม ที่มีผลต่อ

อัตราการอบแห้งของพุทรา ลดนูด อรุ่น และมะบญ โดยใช้อุณหภูมิในการอบแห้งในช่วง 55-72 °C ความเร็วลม 0.6 และ 1.2 m/s พบร่วมกับอัตราการอบแห้งของผลิตภัณฑ์เกจตรที่ศึกษาทั้งหมด อยู่ในช่วงอัตราการอบแห้งที่ลดลง อัตราการอบแห้งจะเพิ่มขึ้นขณะที่อุณหภูมิเพิ่มขึ้น ถ้าอุณหภูมิเพิ่มสูงเกินไปจะทำให้เกิดปัญหาการเสื่อมคุณภาพของผลิตภัณฑ์เกจตร ความเร็วลมจะมีอิทธิพลเล็กน้อยต่ออัตราการอบแห้งของพุตรา แต่จะมีอิทธิพลต่ออัตราการอบแห้งของมะบญและอรุ่น

นภารีนา นัยหมื่น [4] ได้ศึกษาแนวทางการอบแห้งที่เหมาะสมของสับปะรดแห้ง โดยใช้เครื่องอบแห้งแบบดาดอยู่กับที่ พบร่วมกับอัตราการไอล์ฟ่าเพาะของอากาศลดลง ความสัมบูรณ์ของพลังงานจำเพาะในการอบแห้งสับปะรดแห้งจะลดลงด้วย และเมื่ออัตราส่วนเวียนกลับของอากาศที่ใช้อบแห้งแล้วเพิ่มขึ้น จะทำให้ความสัมบูรณ์ของพลังงานจำเพาะลดลงเช่นกัน ส่วนการเพิ่มอุณหภูมิอบแห้งก็จะทำให้ความสัมบูรณ์ของพลังงาน

จำเพาะลดลงเรื่นกัน การเพิ่มของอุณหภูมินั้นจะทำให้เสื่อมสัมบัคคลาดเรื้อรังเข้มข้น ซึ่งเมื่อเพิ่มอุณหภูมิถึงประมาณ 65°C สีและคุณภาพยังดีอยู่

ศิริวัฒน์วิวิษฐ์ และสมชาติ ไสกณธรรมฤทธิ์ [5] ได้ทำการศึกษาพารามิเตอร์ที่จำเป็นสำหรับการวิเคราะห์การอบแห้งมะละกอชิ้น โดยมีความชื้นเริ่มต้นของมะละกอแห้งอ่อนก่อนอบแห้งประมาณ 50 % db. จากการทดลองหาสัมประสิทธิ์การแพร์ของมะละกอแห้งอ่อนที่อุณหภูมิ $40 - 80^{\circ}\text{C}$ พบว่าไม่ปรากฏช่วงอัตราการอบแห้งคงที่คงมีเฉพาะช่วงอัตราการอบแห้งลดลงเท่านั้น และค่าสัมประสิทธิ์การแพร์จะเพิ่มขึ้น ลักษณะอีกซีโนเดนเซียล เมื่ออุณหภูมิของการอบแห้งเพิ่มขึ้น และจาก การทดลองที่ความเร็วลมระหว่าง $0.7 - 1.3 \text{ m/s}$ พบว่า ความเร็วลมร้อนไม่มีผลต่อการเปลี่ยนแปลงสัมประสิทธิ์การแพร์ จากการทดลองหาความชื้นสมดุลโดยทำการทดสอบที่อุณหภูมิ $35 - 65^{\circ}\text{C}$ และความชื้นสัมพัทธิ์ 10 - 90 % พบว่าเมื่ออุณหภูมิสูงขึ้นความชื้นสมดุลจะต่ำลงในช่วงความชื้นสัมพัทธิ์จาก 0 - 25 % แต่สูงขึ้น เมื่อความชื้นสัมพัทธิ์อากาศมากกว่า 45 % จากผลการทดสอบหาความหนาแน่นของมะละกอแห้งอ่อน พบว่า ความหนาแน่นเพิ่มขึ้นเมื่อความชื้นมะละกอแห้งอ่อนเพิ่มขึ้น โดยเพิ่มขึ้นลักษณะเชิงเส้น และจากการทดลองหาความร้อนจำเพาะ พบว่าความร้อนจำเพาะมีค่าสูงขึ้นเมื่อความชื้นของมะละกอแห้งอ่อนเพิ่มขึ้น แบบจำลองที่พัฒนาขึ้นมาสามารถหาค่าสัมประสิทธิ์การแพร์ได้ทุกๆ ก้าว ของอุณหภูมิลมร้อนระหว่าง $45 - 80^{\circ}\text{C}$ หากความชื้นสมดุลลดลงช่วงความชื้นสัมพัทธิ์ 10 - 90 % กับช่วงอุณหภูมิ $35 - 65^{\circ}\text{C}$ และความร้อนจำเพาะ กับความหนาแน่น สามารถหาได้ทุกๆ ก้าวความชื้นของมะละกอแห้งอ่อน

วิธีการทดลอง การทดสอบหาความชื้นสมดุลชิ้ง

นำตัวอย่างมาหันให้มีขนาดเล็กประมาณ $5 \times 5 \times 0.5 \text{ mm}^3$ แบ่งเป็น 10 ส่วนๆ ละ 50 กรัม นำ

แต่ละส่วนมาใส่ในตะแกรงที่แขวนไว้ในภาชนะอลอตต์ ช่องบรรจุสารละลายเกลืออัมตัวของลิเชียมคลอไรด์ (LiCl), แมกนีเซียมคลอไรด์ ($\text{MgCl}_2 \cdot 6\text{H}_2\text{O}$), แมกนีเซียมไนเตรท ($\text{Mg}(\text{NO}_3)_2 \cdot 6\text{H}_2\text{O}$) โซเดียมคลอไรด์ (NaCl) และไปตัวสีเขียวในไนเตรท (KNO_3) อายุต่ำ 2 อาทิตย์ ในปริมาณขวดละ 300 cm^3 หลังจากนั้นนำภาชนะทั้งหมดใส่ไว้ในตู้อบที่อุณหภูมิ 50°C เป็นเวลา 5 วัน นำตะแกรงพร้อมตัวอย่างแต่ละชุดออกจากชั้นแล้วจึงเก็บไว้ในสภาพเดิม ทำซ้ำนี้ทุกวัน จนกว่าน้ำหนักที่ซึ้งได้ไม่เปลี่ยนแปลงหลังจากนั้นนำตัวอย่างของแต่ละตะแกรงไปหาน้ำหนักเพื่อคำนวณหาความชื้นสมดุล ทำการทดสอบในทำนองเดียวกัน แต่เปลี่ยนอุณหภูมิที่ใช้อบเป็น $57, 65$ และ 72°C

การทดสอบหาความหนาแน่นของชิ้ง

นำชิ้งที่เตรียมไว้มาใส่ตู้อบที่อุณหภูมิ 60°C เพื่อลดความชื้นให้มีค่าประมาณ 10, 20, 30, 40, 50 และ 70 % db. นำชิ้งที่มีความชื้นประมาณ 10 % db. มาตัดให้เป็นทรงสี่เหลี่ยมขนาดประมาณ $30 \times 25 \times 15 \text{ mm}^3$ แล้วใช้เวอร์เนียร์วัดขนาดพร้อมทั้งซั่งน้ำหนักขิงแต่ละชิ้น เพื่อคำนวณหาค่าความหนาแน่น ทำการทดสอบในทำนองเดียวกันแต่เปลี่ยนค่าความชื้นของชิ้งเป็น และทำการทดสอบซ้ำประมาณ 5 ครั้ง

การทดสอบหาสัมประสิทธิ์การแพร์

นำตัวอย่างขิงมาตัดให้เป็นรูปทรงกระบอกมีเส้นผ่านศูนย์กลางประมาณ 14 mm ยาวประมาณ 15 mm จำนวน 10 ชิ้น นำไปวางบนตะแกรงเพื่อนำไปอบในอุปกรณ์ทดสอบอัตราการอบแห้ง ปรับความเร็วลม 1.3 m/s และอุณหภูมิในการอบประมาณ 45°C ทำการวัดน้ำหนักของตะแกรงพร้อมตัวอย่าง ทุกๆ 15 นาที ใน 1 ชั่วโมงแรก ทุก 30 นาที ใน 2 ชั่วโมงถัดมา และทุกๆ 1 ชั่วโมง ในช่วงเวลาต่อมา ในการทดสอบจะต้องสังเกตลักษณะและการวัดสีด้วย R.H.S. Colour Chart พร้อมทั้งวัดอุณหภูมิลมร้อน อุณหภูมิอากาศในห้อง และ

อุณหภูมิกระเพาะเปรี้ยง ทุกๆ 1 ชั่วโมง ทำการทดลอง จนกระทั่งตัวอย่างมีความชื้นประมาณ 20 % db. แล้ว จึงนำตัวอย่างไปหาเนื้อนึ่งแห้ง ทำการทดลองในทำนองเดียวกัน แต่เปลี่ยนค่าอุณหภูมิเป็น 50, 55, 60, 70 และ 75 °C

การทดลองหาค่าความร้อนจำเพาะ

นำขิงมาหั่นให้มีขนาดเล็กที่สุด ใส่ตู้อบที่อุณหภูมิ 60 °C เพื่อลดความชื้นของขิง ให้มีค่าประมาณ 10, 20, 30, 40, 50, 60, 70 % db. นำขิงที่มีค่าความชื้นประมาณ 10 % db. มาแบ่งเป็น 2 ส่วน คือส่วนแรกประมาณ 30 กรัม นำไปหาค่าความชื้นที่แน่นอนของขิง และส่วนที่สองประมาณ 70 กรัม นำไปหาค่าความร้อนจำเพาะ โดยใช้แคลอริเมเตอร์ ต่อไปทำการทดลองเดียวกันแต่เปลี่ยนความชื้นของขิง และทำการทดลองซ้ำประมาณ 5 ครั้ง

หลังจากทำการทดลองที่กล่าวมาแล้วนำผลการทดลองที่ได้มานิเคราะห์ และสร้างสมการทางคณิตศาสตร์ ของความชื้นสมดุล สมประสิทธิ์ภาพ พร้อม ความหนาแน่น และความร้อนจำเพาะของขิง โดยการวิเคราะห์สมการทดลอง

ผลการทดลองและวิจารณ์ ความชื้นสมดุล

จากการทดลองหาความชื้นสมดุลด้วยวิธีการคายความชื้น โดยเปรียบเทียบค่าความชื้นสมดุลที่ได้จากการทดลองกับค่าที่ได้จากแบบจำลองความชื้นสมดุล ไอโซเทอม จะได้ว่าแบบจำลองความชื้นสมดุลไอโซเทอม ของขิงที่ดีที่สุดคือรูปแบบสมการของ Oswin, 1946 [20] ซึ่งมีรูปแบบดังนี้

$$M_{eq} = A \left[\frac{RH}{1-RH} \right]^n \quad (1)$$

ซึ่งค่า A และ n มีความสัมพันธ์กับอุณหภูมิ ได้สมการดังนี้

$$A = 2.3539 T^{0.4411}$$

$$n = 0.0004 T^2 - 0.0374 T + 1.4185$$

โดยมีค่า Coefficient of determination (r^2) ระหว่าง A กับ T และ n กับ T เท่ากับ 0.74 และ 0.98 ตามลำดับ

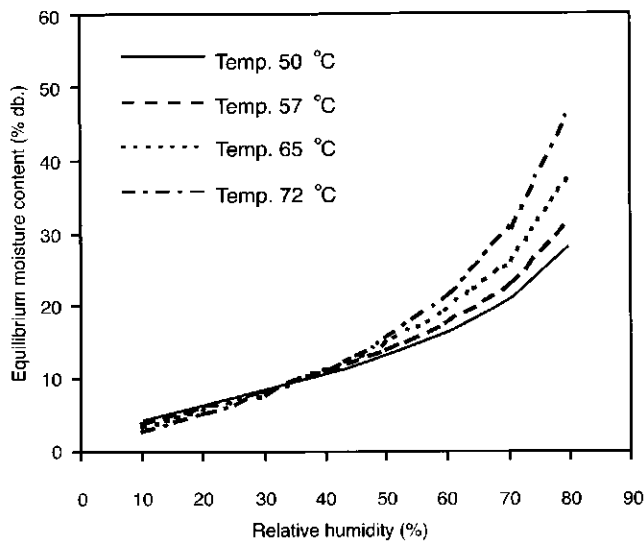
เมื่อ M_{eq} คือ ความชื้นสมดุล , % db.

RH คือ ความชื้นสัมพัทธ์อากาศ ,

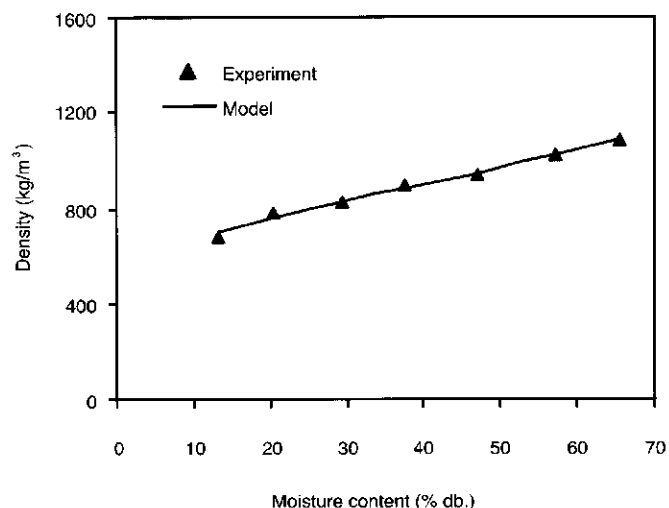
ทศนิยม

T คือ อุณหภูมิ , °C

จากสมการที่ (1) เมื่อเขียนกราฟความสัมพันธ์ระหว่างความชื้นสมดุลกับความชื้นสัมพัทธ์ที่อุณหภูมิต่างๆ ดังรูปที่ 1 จะพบว่าเมื่ออุณหภูมิสูงขึ้นความชื้นสมดุลจะต่ำลงในช่วงความชื้นสัมพัทธ์อากาศ 10-30 % แต่ความชื้นสมดุลจะมีค่าสูงขึ้นเมื่อความชื้นสัมพัทธ์อากาศมากกว่า 40 % ซึ่งเป็นผลมาจากการที่ความชื้นสัมพัทธ์ของอากาศต่ำ เมื่ออุณหภูมิสูงขึ้นความดันไอน้ำของขิงจะมีค่าสูงขึ้นทำให้ความชื้นสมดุลนีค่าต่ำ ส่วนในช่วงหลังการที่ความชื้นสมดุลนีค่าสูงขึ้นเมื่ออุณหภูมิและความชื้นสัมพัทธ์ของอากาศเพิ่มขึ้น เพราะน้ำที่อยู่ในขิงมีคุณสมบัติในการดึงไอน้ำออกจากตัวเองเพื่อสูบสูด แต่เมื่อความชื้นสัมพัทธ์ของอากาศเพิ่มขึ้น [2] และแสดงว่าเมื่ออุณหภูมิสูงขึ้น อิทธิพลของความดันไอน้ำมีค่าน้อยกว่า อิทธิพลของน้ำในขิง จึงทำให้ความชื้นสมดุลนีค่าสูงขึ้น ซึ่งแตกต่างจากกรณีความชื้นสมดุลของเมล็ดพืช คือ ลักษณะของเส้นความชื้นสมดุลไอโซเทอมของเมล็ดพืช เมื่ออุณหภูมิสูงขึ้น ความชื้นสมดุลจะต่ำลงตลอดช่วงของความชื้นสัมพัทธ์



รูปที่ 1 แสดงถึงผลของการดูดซึ�บของขิงด้วยรูปแบบการของ Oswin , 1946 [20]



รูปที่ 2 แสดงการเปรียบเทียบระหว่างผลการทดลองและแบบจำลองความหนาแน่นของขิงที่ความชื้นต่างๆ

ความหนาแน่น^{*}
จากการทดลองหาความหนาแน่นของขิง
ในช่วงความชื้น 10 - 70 % db. และนำผลการทดลอง

มาเขียนกราฟแสดงความสัมพันธ์ระหว่างความชื้นกับ
ความหนาแน่นของขิง ดังรูปที่ 2

เมื่อความชื้นเพิ่มขึ้นความหนาแน่นจะมีค่าเพิ่มขึ้นในลักษณะเชิงเส้น ได้ความสัมพันธ์ดังนี้

$$\rho = 609.638 + 7.387M \quad (2)$$

ซึ่งมีค่า Coefficient of determination (r^2) เพ่ากัน 0.98

เมื่อ ρ คือความหนาแน่นของขิง, kg/m^3
 M คือความชื้นของขิง, % db.

ความร้อนจำเพาะ

จากการทดลองหาความร้อนจำเพาะของขิงในช่วงความชื้น 10 - 70 %db. และนำผลการทดลองมาเขียนกราฟแสดงความสัมพันธ์ระหว่างความชื้นกับความร้อนจำเพาะของขิง ดังรูปที่ 3 จะได้ความสัมพันธ์คือ

เมื่อความชื้นมีค่ามากขึ้นความร้อนจำเพาะจะมีค่าลดลงในลักษณะเช่นโถง ได้ความสัมพันธ์ดังนี้

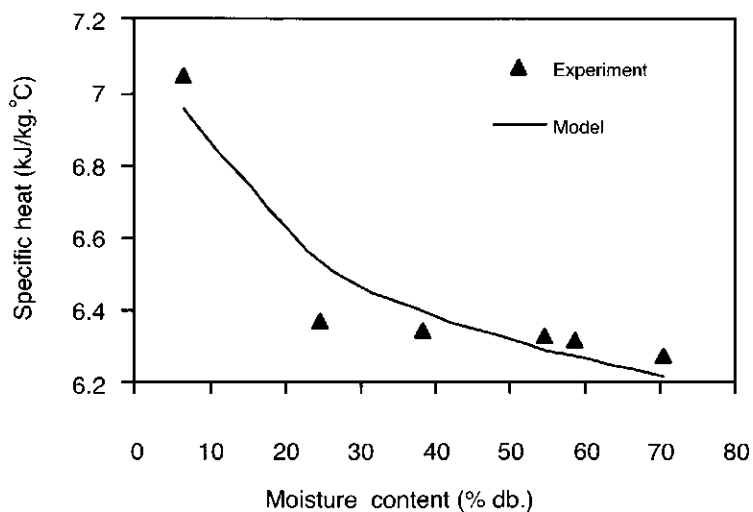
$$C_s = 7.5967M^{-0.0472} \quad (3)$$

โดยมีค่า Coefficient of determination (r^2) เพ่ากัน 0.89

เมื่อ C_s คือความร้อนจำเพาะของขิง, $\text{kJ}/\text{kg}\cdot^\circ\text{C}$
 M คือความชื้นของขิง, % db.

สัมประสิทธิ์การแพร่ความชื้น

จากการทดลองหาค่าสัมประสิทธิ์การแพร่ความชื้นของขิงที่อุณหภูมิ $45 - 75^\circ\text{C}$ และความเร็วลมร้อนเฉลี่ย 1.3 m/s ซึ่งใช้สมการมีรูปแบบดังนี้ [18]



รูปที่ 3 แสดงการเปรียบเทียบระหว่างผลการทดลองและแบบจำลองความร้อนจำเพาะของขิงที่ความชื้นต่างๆ

$$MR(t) = \frac{32}{\pi^2} \left[\exp\left(\frac{-\pi^2 Dt}{L^2}\right) + \frac{1}{9} \exp\left(\frac{-9\pi^2 Dt}{L^2}\right) + \frac{1}{25} \exp\left(\frac{-25\pi^2 Dt}{L^2}\right) \right] \times \\ \left[\frac{1}{49} \exp\left(\frac{-49\pi^2 Dt}{L^2}\right) + \frac{1}{81} \exp\left(\frac{-81\pi^2 Dt}{L^2}\right) \right] \times \\ \left[\frac{1}{(\lambda_1 r_0)^2} \exp\left(-(\lambda_1 r_0)^2 \left(\frac{Dt}{r_0^2}\right)\right) + \frac{1}{(\lambda_2 r_0)^2} \exp\left(-(\lambda_2 r_0)^2 \left(\frac{Dt}{r_0^2}\right)\right) \right] \times \\ \left[\frac{1}{(\lambda_3 r_0)^2} \exp\left(-(\lambda_3 r_0)^2 \left(\frac{Dt}{r_0^2}\right)\right) + \frac{1}{(\lambda_4 r_0)^2} \exp\left(-(\lambda_4 r_0)^2 \left(\frac{Dt}{r_0^2}\right)\right) \right] \times \\ \left[\frac{1}{(\lambda_5 r_0)^2} \exp\left(-(\lambda_5 r_0)^2 \left(\frac{Dt}{r_0^2}\right)\right) \right] \quad (4)$$

| | | |
|----------------------|-----------|--|
| เมื่อ | MR | คืออัตราส่วนความชื้น |
| D | | คือสัมประสิทธิ์การแพร่ความชื้น, m^2/h |
| L | | คือความหนาของวัสดุ, m |
| t | | คือเวลา, h |
| r | | คือรัศมีของทรงกระบอก, m |
| $J_0(\lambda_n r_0)$ | | คือฟังก์ชันของ Bessel อันดับที่ศูนย์ |
| $J_1(\lambda_n r_0)$ | | คือฟังก์ชันของ Bessel อันดับที่หนึ่ง |
| $\lambda_n r_0$ | | คือค่าที่สอดคล้องกับ $J_0(\lambda_n r_0) = 0$ และมีค่าดังนี้ (ตัวอย่าง 5 ค่าแรก) |
| $\lambda_1 r_0$ | = 2.4048 | , $\lambda_2 r_0$ = 5.5201 , $\lambda_3 r_0$ = 8.6537 |
| $\lambda_4 r_0$ | = 11.7915 | , $\lambda_5 r_0$ = 14.9309 |

จากสมการที่ (4) ได้วิเคราะห์สมการลดด้อยเพื่อหาความสัมพันธ์ระหว่างสัมประสิทธิ์การแพร่ความชื้นกับอุณหภูมิลมร้อนได้ความสัมพันธ์ดังนี้

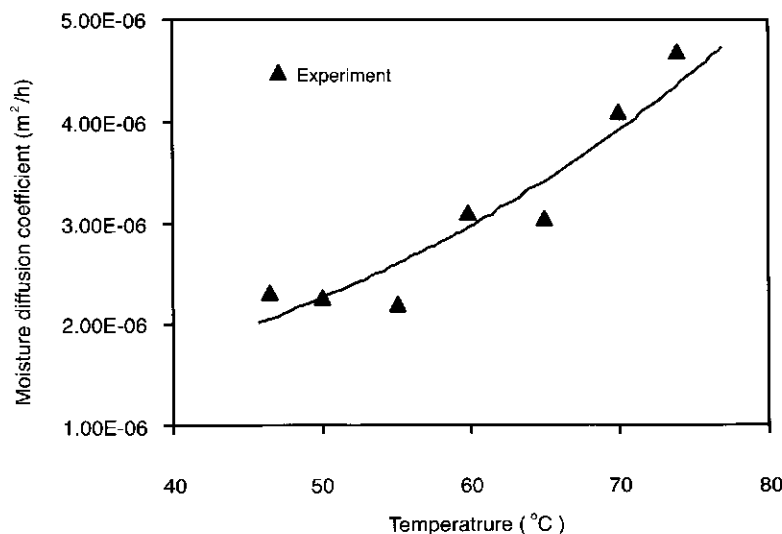
$$D = 6 \times 10^{-7} \exp(0.0281T) \quad (5)$$

โดยมีค่า Coefficient of determination (r^2) เท่ากับ 0.91

เมื่อ T คืออุณหภูมิลมร้อน, °C

เมื่อนำผลจากการทดลองกับผลจากการคำนวณ

จากแบบจำลองทางคอมพิวเตอร์ (สมการที่ 5) มาเขียนกราฟความสัมพันธ์ระหว่างสัมประสิทธิ์การแพร่ความชื้นกับอุณหภูมิลมร้อนได้ความสัมพันธ์ดังรูปที่ 4 ซึ่งพบว่า เมื่ออุณหภูมิสูงขึ้นค่าสัมประสิทธิ์การแพร่ความชื้นจะมีค่าสูงขึ้นในลักษณะของเส้นโค้งเป็นเชิงลด ซึ่งสามารถอธิบายได้ว่าเมื่ออุณหภูมิสูงขึ้นทำให้ความตันไออกไซในและภายนอกชั้นวัสดุแตกต่างกันมากขึ้นทำให้น้ำเคลื่อนที่ผ่านรูพรุนได้มากขึ้น



รูปที่ 4 แสดงค่าสัมประสิทธิ์การแพร่ความชื้นที่อุณหภูมิต่างๆ จากผลการทดลองที่ความเร็วลม 1.3 m/s และจากสมการแบบจำลองสัมประสิทธิ์การแพร่ความชื้นของขิง

สรุป

ในการหาความชื้นสมดุลของขิงรูปแบบสมการเดันความชื้นสมดุลไอโซเทอมของ Oswin (1946) สามารถอธิบายข้อมูลการทดลองได้ดีที่สุด ซึ่งสามารถหาความชื้นสมดุลที่อุณหภูมิระหว่าง 45 - 72 °C และความชื้นสมดุลของอากาศ 10 - 80 % ส่วนสมการที่สร้างขึ้นสำหรับหาค่าความหนาแน่นและความร้อนจำเพาะของขิงสามารถใช้ได้ทุกๆ ค่าความชื้นของขิง และค่าสัมประสิทธิ์การแพร่จะมีค่าสูงขึ้น เมื่ออุณหภูมิของลมร้อนมีค่าสูงขึ้น ซึ่งจะเพิ่มขึ้นในลักษณะอีกซึ่งไป-พนนซึ่ยลด ส่วนอุณหภูมิที่เหมาะสมในการอบแห้งขิงนั้นคือ 55 - 60 °C เพราะใช้เวลาไม่นานเกินไปให้สีกลั่นเคียงกับขิงส่วนมากที่สุด

เอกสารอ้างอิง

- [1] กรมวิชาการเกษตร. 2525. บิ. กองแผนงาน กรมวิชาการเกษตร, กรุงเทพฯ. 41.

- [2] พวงษ์ นิยมวิทย์ และอัญชันนี ฤทธิพัฒนาชีพ. 2528. วิทยาศาสตร์การประคองอาหาร . มหาวิทยาลัยเกษตรศาสตร์ , กรุงเทพ , 441 หน้า.
[3] ทักษิณ โลยจิราภุ. 2526. ลักษณะสมบัติของ การอบแห้งของผลิตภัณฑ์เกษตรบางชนิดใน ประเทศไทย . วิทยานิพนธ์ปริญญาโท, จุฬาลงกรณ์มหาวิทยาลัย, กรุงเทพฯ.
[4] นารีนา นุ้ยหมี. 2534. แนวทางการอบแห้ง สับปะรดแซ่บอันที่เหมาะสมที่สุด . วิทยานิพนธ์ ปริญญาโท, สถาบันเทคโนโลยีพระจอมเกล้าธนบุรี, กรุงเทพฯ.
[5] ศิริ อัจฉริยวิชชะและสมชาติ ไสกอรอนุท. 2531. การศึกษาหาพารามิเตอร์ที่จำเป็นสำหรับ วิเคราะห์การอบแห้งมะละกอแซ่บอัน . เอกสาร เสนอในที่ประชุมสัมมนาทางวิชาการเรื่อง อุปกรณ์ และเทคโนโลยีหลังการเก็บเกี่ยวที่เหมาะสม, มหาวิทยาลัยเชียงใหม่, เชียงใหม่, 6 - 7 ตุลาคม 2531.

- [6] สมชาติ ไสกณรงค์ฤทธิ์. 2540. การอบแห้ง เม็ดพืชและอาหาร. สถาบันเทคโนโลยี พระจอมเกล้าธนบุรี, กรุงเทพฯ.
- [7] สมชาติ ไสกณรงค์ฤทธิ์ และวีโภพร นพรัตน์ไกร-ดาศ. 2530. อุปกรณ์ศึกษาอัตราการอบแห้ง เม็ดพืช และผลการทดสอบข้าวเปลือก, เอกสารเสนอในที่ประชุมสัมมนาทางวิชาการเรื่อง เทคโนโลยีแห้งการเก็บเกี่ยวที่เหมาะสม, มหาวิทยาลัยเชียงใหม่, เชียงใหม่. 28 - 30 ตุลาคม 2530. 16 หน้า.
- [8] อารีย์ เพ็ญไชย. 2532. การศึกษาทางการมิเตอร์ ที่จำเป็นสำหรับการวิเคราะห์การอบแห้งสับปะรด แห้วอิม. วิทยานิพนธ์ปริญญาโท, มหาวิทยาลัย เกษตรศาสตร์, กรุงเทพฯ.
- [9] Aden , B. Meinel and Marjorie P. Meinel. 1977. **Applied Solar Energy an Introduction**. Addison-Wesley Publishing company, Inc.
- [10] Brunaruers, S. , P.H. Emmett and E. Teller. 1938. **Adsorption of Gases in Multimolecular Layers**. J. Amer. Chem. Soc. , 6 : 309 - 1319
- [11] Christopher G.J. Baker. 1997. **Industrial Drying of Foods**. Blackie Academic & Professional , UK.
- [12] Chung , D.S. and H.B. Pfost. 1967. **Adsorption and Desorption of Water Vapor by Cereal Grain and their Products**, Tran. ASAE 10 : 549 - 557.
- [13] Crank , J., 1975. **The Mathematics of Diffusion**, 2d ed. Clarendon Press, Oxford, 414 p.
- [14] Garcia , R., Leal, F. and Rolz, C., 1988. "Drying of Bananas using Microwave and Air Ovens". International Journal of food Science Science and Technology, 23 (6), 73-80.
- [15] Halsey , G, 1948. **Physical Adsorption on Non - Uniform Surfaces**, J. Chem, Phy. , 16 : 83 - 92.
- [16] Henderson, S.M., 1952. **A Basic Concept of Equilibrium**. Agr. Eng. 33 : 29-31.
- [17] Henderson, S.M., 1974. **Agricultural Process Engineering**, 3d ed., pr. Wesport, Connecticut, 441 p.
- [18] Iglesias, H.A. and J. Chirife, 1928. **Handbook of Food Isotherms : Water Sorption Parameters For Food and Food Component**. Academic Press, Inc., New York. 347 p.
- [19] Iglesias, H.A, 1978. **An Empirical Equation for Fitting Water Sorption Isotherms of Fruits and Related Products**, Can. Inst. Food Sci. Technol. , J. 11 : 83 - 92.
- [20] Oswin, C.R., 1946. **The Kinetics of Package Life III. The Isotherm**. J. Chem. Ind. (London) 64 : 419 - 421.
- [21] Taylor, A.A. , 1961. **Determination of Moisture Equilibrium Dehydrated Foods**. Food Technol., 15 :536.